

防神高速道路公団 正員 松尾 武

## 1. まえがき

料金徴収所における交通処理の問題は、待合せ理論を用いて解析することが広く行われている。しかし実際の待合せの現象には理論的仮定するような条件に適合しないことも多いと考えられる。そこで防神高速道路の料金徴収所において交通現象の実測調査を実施し、さらにシミュレーションを行って料金徴収所の処理能力の検討を試みた。

## 2. 到着流の特性

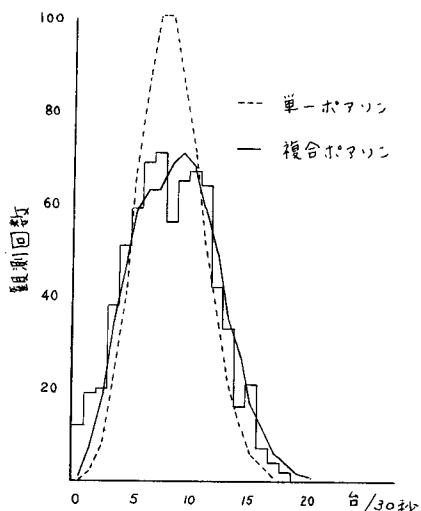
実測結果によると、ある時間内に到着する車の台数の分布は単一ポアソン分布よりも複合ポアソン分布に近く、到着流への信号交差点の影響がかなり大きいことが示された。図1は、350m離れたT型交差点から間けつ的に流入する直通と反対方向から継続して流入する交通が重なるよう5入路での観測例で30秒間に到着する台数の観測回数を示している。図2は、400m離れた十字交差点からの直通が流入してくる入路における観測例である。図中に実線で示される複合ポアソン分布はそれぞれ次式で表わされる。

$$P_n = 0.3(5)^n e^{-5} / n! + 0.7(5)^n e^{-5} / n!$$

$$P_n = 0.2(7)^n e^{-7} / n! + 0.45(11)^n e^{-11} / n! + 0.35(18)^n e^{-18} / n!$$

ただし  $P_n$  は30秒間に  $n$  台の車が到着する確率である。

図1 到着台数の分布



## 3. サービス時間の特性

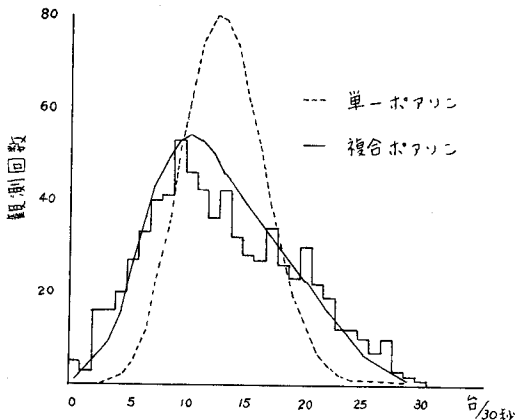
サービス時間の分布は、最小時間は2秒とする3位相3のアーラン分布、または最小時間は3秒とする位相2のアーラン分布に近いことがわかる。図3に観測されたサービス時間の分布と最小時間2秒とする指數分布および位相3のアーラン分布を示した。このアーラン分布は次式で表わされる。

$$P(t) = 0.108 t^2 e^{-0.6t}$$

ただし  $P(t)$  はサービス時間が  $(2+t, 2+t+dt)$  の間である確率である。

平均サービス時間は、車種比率、つり銭を要する車の比率、回数券を利用する車の比率などによって

図2 到着台数の分布



変化するを考えられる。そこでサービス時間と料金徴収所に車が停止してから発進するまでの処理時間と、車が発進してから次の車が停止するまでの車頭時間の間に分けて、処理時間は車種ごとにつけられ、つり銭なし、回数券の平均値を、車頭時間は普通車と大型車の組合せごとに平均値を求めた。結果は表1、表2に示すところである。これより平均サービス時間は次式で求めることができ。

$$T = A_0(1.8A_1 + 5.4A_2 + 0.7A_3) + B_0(2.6B_1 + 6.5B_2 + 0.9B_3) \\ + 4.0A_0^2 + (4.7 + 5.9)A_0B_0 + 6.5B_0^2$$

ただし  $T$  は平均サービス時間、  $A_0$  は普通車の比率、  $B_0$  は大型車の比率、  $A_1, A_2, A_3$  は普通車のつり銭あり、つり銭なし、回数券の比率、  $B_1, B_2, B_3$  は大型車のつり銭あり、つり銭なし、回数券の比率、  $A_0 + B_0 = 1, A_1 + A_2 + A_3 = 1, B_1 + B_2 + B_3 = 1$  である。これらの比率は入路の立地条件によって異るもので、通過方向の多い入路では大型車の比率とつり銭ありの比率は大きく、回数券の比率は小さくなることが予想される。

また、交通量と平均サービス時間の関係を求めると図4のとおりとなった。平均サービス時間は交通量が増加するにつれて減少する傾向があることがわかる。これは交通量が増えるにつれて料金徴収員や運転者の動作が遅くなること、運転者が待たされていてる間にあらかじめ料金の準備をはじめることのためであると考えられる。

4. 到着流、サービス時間の特性と処理能力の関係  
到着流とサービス時間の特性が料金徴収所の処理能力に与える影響を調べるためにシミュレーションを実施した。モデルは2車線の入路を設定し、到着流がランダムでサービス時間一定 ( $M/D/2$ )、ランダム到着でサービス時間が最小2秒の指数分布 ( $M/M/2$ )、到着流が信号交差点によって変調されたサービス時間一定 ( $F/D/2$ )、変調到着でサービス時間が最小2秒の指針分布 ( $F/M/2$ ) の4ケースについてシミュレートした。平均サービス時間も6秒としたときの平均待ち時間と交通量の関係は図5のとおりとなった。このシミュレーションの結果は、交通量が小さいときは到着流の特性が処理能力に大きく影響するが、交通量が大きくなるにつれてサービス時間の特性の影響のほうが次第に大きくなる。

図3 サービス時間の分布

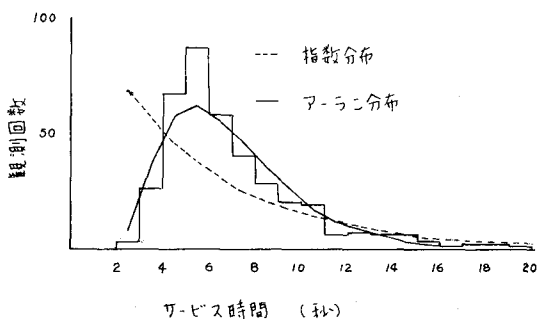


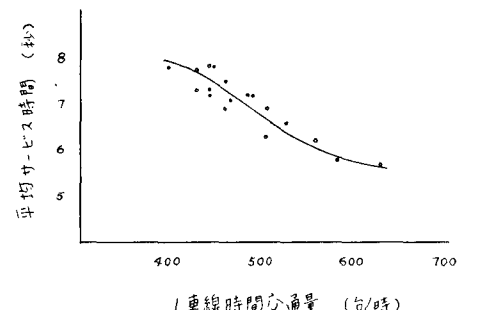
表1 平均処理時間

	つり銭なし	つり銭あり	回数券
普通車	1.8 秒	5.4 秒	0.7 秒
大型車	2.6	6.5	0.9
全 車	1.9	5.6	0.8

表2 平均車頭時間・隔

普通車・普通車	普通車・大型車	大型車・大型車	大型車・普通車
4.0 秒	4.7 秒	6.5 秒	5.9 秒

図4 交通量・平均サービス時間



これを示している。

図5 シミュレーション結果

### 5. 実測値とシミュレーションの比較

2車線の入路において実測された立通量と平均待ち時間の関係とシミュレーションで得られた結果を示すと図6のとおりである。シミュレーションは変調到着、指數サービス( $F/M/2$ )で平均サービス時間5～8秒で行なった。図中の破線は立通量と平均サービス時間の関係を考慮したものである。シミュレーション結果は実測値より平均待ち時間がや、大きくなっているが、指數分布のサービス時間はアーラン分布をすることによって

この差はさらに  
小さくなるもの  
と思われる。

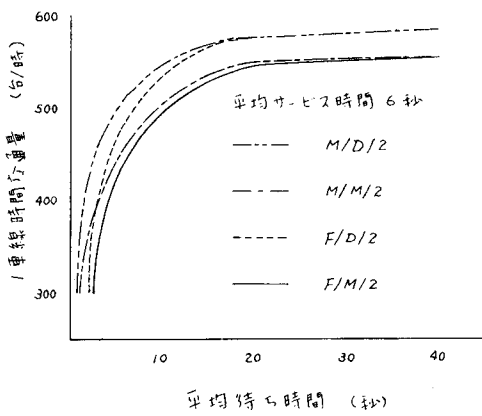
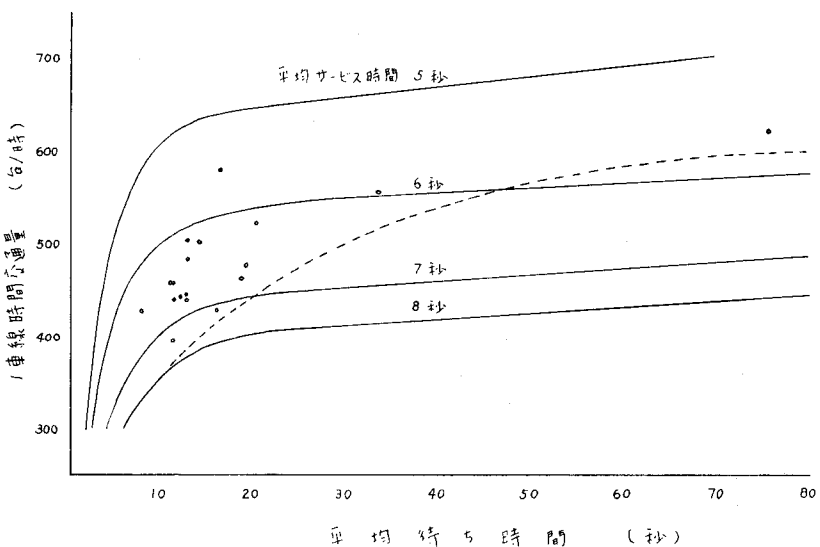


図6 立通量-平均待ち時間



### 6. 結び

この調査研究は、阪神高速道路の料金衝突所の処理能力に関するマニュアルを作成することを最終目標としているが、まだ充分データが得られていないといえども、さらに実測調査とシミュレーションを積重ねて研究をすすめたいと考えている。

図7 シミュレーションの概略フローチャート

